

○東京大学工学部 学生員 小畠 誠
東京大学工学部 正会員 佐藤 尚文
東京大学工学部 正会員 西野 文雄

1. はじめに 岩盤中に埋設された水圧鉄管（埋設鉄管）は外をあおう岩盤により、変位の拘束を受ける。この埋設鉄管の外圧に対する座標強さについては Amstutz⁽¹⁾ の研究以来、多くの研究がなされている。これらの多くは座標形状を仮定しエネルギー法により解を求めているが、ここでは補剛杆のない埋設鉄管で自由長が半径に比べ十分長い場合を想定し、この問題を円環にモデル化し、はり要素に離散化して解析した結果を報告する。

2. 解析理論 ここでは文献(2), (3)に報告されている逐次近似法を用いた有限変位解析を用いる。右手系の座標系を図1のように設定する。ここに示すのは変形後の部材の軸線に沿ってと、左座標である。仮想変位位置での座標系を右に示すようにとり、この座標系で要素の支配方程式を記述する。要素内の任意の点での変位を角度に関する境界条件の非線形性を考慮し次のようにあらわす。

$$u = \langle u_1^*, u_2^* \rangle \times \langle u_1, u_2 \rangle^T \quad (1)$$

$$v = \langle v_1^*, v_2^* \rangle, \frac{\partial}{\partial} \langle v_1^*, v_2^* \rangle, \frac{\partial^2}{\partial} \langle v_1^*, v_2^* \rangle \times \langle v_1, v_2, \theta_1, \theta_2 \rangle^T \quad (2)$$

ここに \star は要素の初期長さ、 $\ddot{\ } \star$ は変形後の長さである。構成方程式としては次の式を用いる。

$$\nabla F = E \nabla u \quad (3)$$

これらの関係式を仮想変位式

$$\int \sigma dV - \int P dS = 0 \quad (4)$$

に代入することにより次の支配方程式を得る。

$$F = \bar{K}(u) - \bar{P}.$$

全体座標系であらわせば

$$F = K(u) - P \quad K(u) = \bar{T}^T \bar{K}(u) \bar{T} \quad \bar{T} = \begin{pmatrix} \frac{\partial}{\partial} & 0 \\ 0 & \frac{\partial^2}{\partial} \end{pmatrix}$$

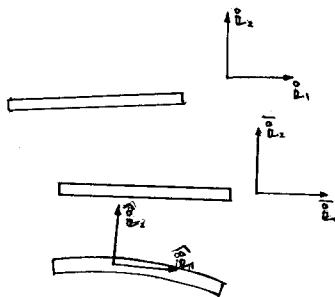


図.1 座標系の設定

これを重ねあわせることにより次のように全体座標の支配方程式を得る。

$$F = K(u) - P. \quad (5)$$

3. 接触のあつかい 岩点の変位は拘束壁により、拘束を受ける。本報告ではこの拘束壁を平面の集合とみなすものとする。節点 i と平面 Γ_i との距離を d_{ij} とすると、接觸の幾何学的条件としては $d_{ij} = 0$ となるが、この式を計算上みたすことは非常に困難なので、次の不等式を用いる。

$$0 > \frac{d_{ij}}{R} > \epsilon_d \quad (6)$$

ここに R は円環の半径である。 ϵ_d は符号を持つ量で、負のときは拘束壁を離れていくことを意味するものとする。接觸の力学的な条件としては節点が平面から受けける反力を f として次の不等式になる。

$$f_j > 0 \quad (7)$$

すなわち節点 i は、不等式(6)を満たしたとき、拘束壁上に拘束され、不等式(7)を満たさなくなるとき、拘束壁から離れることに至る。

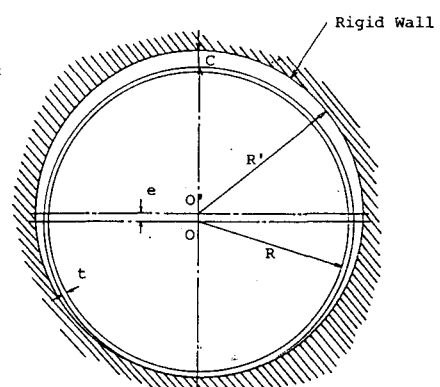


図.2 初期状態

離れたときの条件としては厳密には $\dot{\theta} = 0$ とするが、計算上は次の不等式を用いる。

$$0 > \dot{\theta} + E_J \quad (13)$$

4. 計算結果 計算にあたっては、円環の対称性を考慮し、半円のモデルを用いた。円環の半径を R 、肉厚を t としたとき $R/t = 100$ の場合について、図2に示すよるな一様でない初期すきまの大きさを変えて、外圧を受けたときの円環の力学的挙動の相違を求めた。初期すきまの大きさは $C/R = 0.0 \sim 0.005$ について計算を行なった。要素分割数は45とし、不等式(11), (13) の定数 E_J はそれぞれ -1.0×10^{-5} , -1.0×10^{-3} とした。また塑性および円環と拘束壁との摩擦の影響は考慮していない。

図5は圧力と最大たわみの関係を示したもので、横軸に最大たわみの円環の半径に対する比、縦軸に圧力の拘束のない円環の古典座屈圧力 $P_{cr} = 3EI^2/R^3$ (I : 断面2次モーメント)に対する比をとっている。これから、拘束壁の存在により、円環の外圧に対する強度が、拘束壁のない場合に比べ20~30倍にもなることがあることがわかる。また初期すきまの大きさ程、拘束壁の拘束の効果が小さく最大たわみが大きくなり、大きく変形していることがわかる。図3は限界圧力時の円環の形状の一例を示したものである。変形の様子を強調するため、半径方向の変位は5倍に拡大してある。この図から円環のりゆうる座屈波数は1であることがわかる。図4は初期すきまと限界圧力の関係を示したものである。初期すきまの小ささ程、拘束壁の拘束の効果が大きく、限界圧力が大きくなっていることがこの図から読み取れる。また計算例に示した範囲では、限界圧力は、初期すきまの大きさにきわめて敏感であることがわかる。図4に示した破線は、同じく円環をひり要素で離散化し、増分法を用いて解析を行なった松原・山本⁽⁴⁾らの結果を示すものである。この図からわかるように本報告の方が限界圧力が小さくなっている。

参考文献

- (1) Amstutz, E., Das Einbeulen von jorgespantenen Schnecke und Stollenpanzerungen. Schweizerische Bauzeitung Bd. 71 Nr. 16 (1953)
- (2) 池田満宏 ト拉斯構造物の有限変位解析、東京大学工学部修士論文 (昭和55)
- (3) 三賢吾三 平面骨組の非線形数値解析、東京大学工学部修士論文 (昭和56)
- (4) 山本善之・松原英宏 外圧を受ける内張り鋼管の設計公式的提案 水門鉄管 No. 127 (1981)

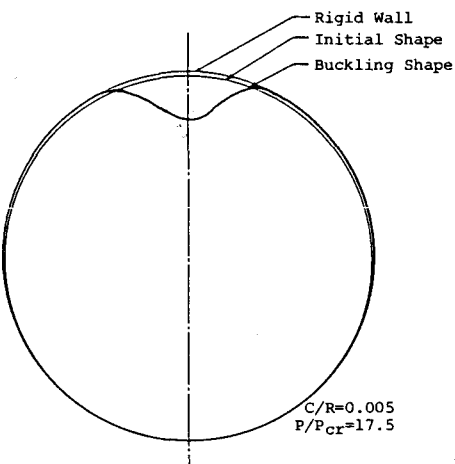


図3 亜屈形状

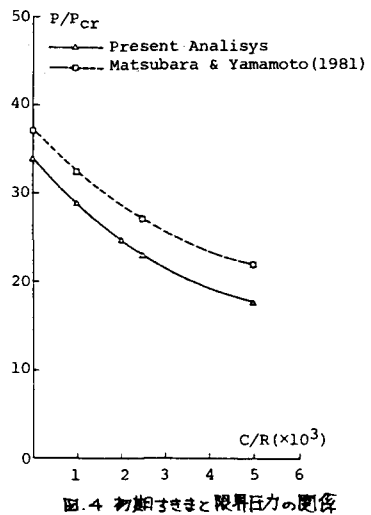


図4 初期すきまと限界圧力の関係

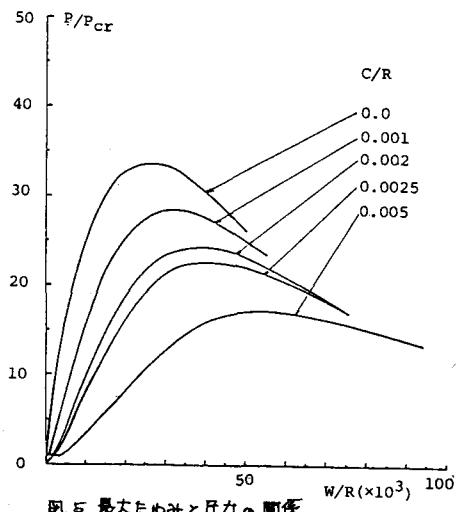


図5 最大たわみと圧力の関係